

Table des matières

| | |
|---|-----|
| Liste des figures | iii |
| Liste des tableaux..... | xi |
| Introduction | |
| Le dynamisme et la diversité de l'Archaique au Québec..... | 1 |
| Adrian L. Burke | |
| Chapitre premier | |
| Un Archaique ancien (8500 - 8000 ans AA) en Moyenne-Côte-Nord. | |
| L'apport des sites EbCx-65 et EbCx-66 en Minganie..... | 15 |
| Jean-Christophe Ouellet et Pierre J. H. Richard | |
| Chapitre deux | |
| La technologie lithique sur quartz de l'occupation datant de l'Archaique ancien au site CeEt-482 | |
| (Saint-Romuald, Lévis, Québec) | 57 |
| Adrian L. Burke, Killian Driscoll et Marie-Michelle Dionne | |
| Chapitre trois | |
| L'Archaique moyen au Méganticois et le site BiEr-6, Lac des Joncs | 77 |
| Claude Chapdelaine | |
| Chapitre quatre | |
| Les occupations de la période Archaique à l'embouchure de la rivière Gatineau. Le site BiFw-172. | 115 |
| Jean-Christophe Ouellet | |
| Chapitre cinq | |
| La question des identités culturelles au cours de l'Archaique supérieur sur le bassin hydrographique | |
| de la rivière Saguenay : du Piekouagamy au fleuve Saint-Laurent | 151 |
| Érik Langevin et Noémie Plourde | |
| Chapitre six | |
| Pétrographie et technologie de pierres fissiles et polies. | |
| Le mudstone shaleux et l'ardoise de la Baie Sainte-Marguerite (DbEl-10B)..... | 187 |
| Tiziana Gallo | |
| Chapitre sept | |
| Le site EkCw-4, Moyenne Côte-Nord, Québec. Paysage sonore et occupation humaine près d'un | |
| ninimissiu pakatakan entre 6650 et 3400 ans cal AA..... | 209 |
| David Tessier | |

| | |
|---|-----|
| Chapitre huit | |
| Dés témoins de l'Archaique de la collection Siméon Chachai, Réservoir Gouin, Haute-Mauricie | 237 |
| <i>Chavin Chavez Vyrubal</i> | |
| Chapitre neuf | |
| Sanders Pond, un site vieux de 4 200 ans sur le bord de la mer de Tyrrell en Eeyou Istchee Baie-James | 247 |
| <i>Dario Izaguirre, David Denton, Florin Pendea et Bernard Hétu</i> | |
| Chapitre dix | |
| Les occupations de l'Archaique au site Cliche-Rancourt (BiEr-14) au Méganticais | 271 |
| <i>Claude Chapdelaine et Pierre Corbeil</i> | |
| Chapitre onze | |
| Le site CaFg-6 et l'Archaique dans la région de Sorel-Tracy, un cas de l'adaptation des méthodes d'intervention archéologique | 293 |
| <i>Julie Fournier</i> | |
| Chapitre douze | |
| Pour une refonte d'un concept archaique | 327 |
| <i>Daniel Chevrier</i> | |
| Contenu du DVD en pochette | |
| Table des matières détaillée | |
| Annexe A. Le livre Paléo-Québec n° 36 - version en couleurs | |
| Annexe B. Figures en couleurs et annexes, classées par chapitre | |

Liste des figures

Introduction

Figure 1 Carte du Québec méridional (au sud du 55° degré de latitude) montrant les secteurs décrits dans les chapitres de ce livre 7

Chapitre premier

| | |
|--|----|
| Figure 1 Pointe de projectile à pédoncule contractant du site EbCx-66, station 1..... | 17 |
| Figure 2 Localisation des sites (EbCx-65 et EbCx-66) dans leur cadre géomorphologique actuel | 18 |
| Figure 3 Vue vers le sud et la vaste zone de tourbières depuis la terrasse des sites EbCx-065 et -66 | 18 |
| Figure 4 Aperçu général de la station 10 du site EbCx-65, regard vers le sud-ouest..... | 19 |
| Figure 5 Plan général de la station 10 du site EbCx-65, fouilles de 2015..... | 19 |
| Figure 6 EbCx-65 station 10, profil stratigraphique type du milieu en place | 20 |
| Figure 7 EbCx-65 station 10, profil stratigraphique type du secteur de la déflation | 20 |
| Figure 8 Assemblage de grattoirs de la station 10 du site EbCx-65 | 22 |
| Figure 9 EbCx-65 station 10, grand racloir en quartzite..... | 22 |
| Figure 10 EbCx-65 station 10, coins à fendre | 22 |
| Figure 11 EbCx-65 station 10, éclats retouchés et utilisés | 23 |
| Figure 12 EbCx-65 station 10, possible outil poli | 23 |
| Figure 13 EbCx-65 station 10, outil poli en schiste, ulu (?)..... | 23 |
| Figure 14 EbCx-65 station 10, nucléus et fragments de blocs | 24 |
| Figure 15 EbCx-65, station 10, distribution des classes de superficies des éclats par matières premières | 25 |
| Figure 16 EbCx-65 station 10, distribution du matériel lithique | 27 |
| Figure 17 EbCx-65 station 10, distribution des restes osseux | 27 |
| Figure 18 EbCx-66 station 4, aperçu général du site depuis le cran rocheux, regard vers le sud-ouest | 29 |
| Figure 19 EbCx-66 station 4, podzol ferro-humique caractéristique | 29 |
| Figure 20 EbCx-66 station 4, fin de fouille, regard vers le nord-est.. | 29 |
| Figure 21 EbCx-66 station 4, plan général..... | 30 |
| Figure 22 EbCx-66 station 4, assemblage de grattoirs du site | 32 |
| Figure 23 EbCx-66 station 4, burin..... | 32 |
| Figure 24 EbCx-66 station 4, nucléus et fragments de blocs..... | 32 |
| Figure 25 EbCx-66 station 4, distribution des classes de superficies des éclats par matières premières..... | 33 |
| Figure 26 EbCx-66 station 4, distribution du matériel lithique..... | 34 |
| Figure 27 Isochrones de la déglaciation de l'est du Québec, à partir du Golfe du Saint-Laurent jusqu'au cœur du Plateau laurentien | 39 |
| Figure 28 Émersion post-goldthwaitienne des terres en Moyenne-Côte-Nord (ou Minganie) (Bigras et Dubois, 1987) et dans la région de Manicouagan..... | 40 |
| Figure 29 Migration postglaciaire du trait de côte en Minganie selon quatre époques. Blanc : niveau marin et trait de côte modernes; gris pâle : zones inondées; gris foncé : continent et lacs. La position des sites EbCx 65 et -66 est indiquée par un triangle | 42 |
| Figure 30 Séquences postglaciaires de la végétation des arrières-pays de la Haute- et de la Basse-Côte-Nord, d'après les diagrammes polliniques de sédiments lacustres | 43 |
| Figure 31 Caractères des eaux de surface et afflux d'eau douce dans le Golfe du Saint-Laurent durant la déglaciation | 46 |
| Figure 32 Environnement des sites bordés par la Mer de Goldthwait, il y a un peu plus de 8000 ans | 47 |

Chapitre deux

| | |
|---|----|
| Figure 1 Localisation de la station principale du site CeEt-482 ainsi que les autres sites qui se trouvent sur la même terrasse dans le secteur Côte Rouge, Ville de Lévis..... | 58 |
| Figure 2 Plan des fouilles sur la station principale du site CeEt-482 et la distribution des artefacts en quartz..... | 59 |
| Figure 3 La distribution des artefacts en quartz, aires 1 et 2 | 63 |
| Figure 4 La distribution des artefacts en quartz par type de quartz par rapport au grand total des objets en quartz sur les aires 1 et 2 | 64 |
| Figure 5 La distribution des éclats en quartz sur les aires 1 et 2 selon leurs dimensions et la distribution des nucléus..... | 64 |
| Figure 6 La distribution des outils en quartz sur les aires 1 et 2 | 65 |
| Figure 7 Les dimensions des nucléus selon le type de nucléus et le type de quartz | 67 |
| Figure 8 Nucléus bipolaire (CeEt-482.335) | 68 |
| Figure 9 Nucléus à plateforme (CeEt-482.299a). Photo Chavín Chavez | 68 |
| Figure 10 Dimensions des éclats selon le type de quartz et le type d'éclat..... | 68 |
| Figure 11 Éclat retouché (CeEt-482.502)..... | 69 |
| Figure 12 Grattoir typique en quartz de veine (CeEt-482.109)..... | 69 |
| Figure 13 Grattoir en quartz hyalin (CeEt-482.126) | 69 |
| Figure 14 Détail des traces observées sur l'outil CeEt-482.100 (TR01) : racloir pour le travail de l'os ou de l'andouiller | 72 |
| Figure 15 Détail des traces observées sur l'outil CeEt-482.251 (TR09) | 72 |
| Figure 16 Détail des traces observées sur l'outil CeEt-482.288 (TR10), utilisé comme un burin | 72 |
| Figure 17 Détail des traces observées sur l'outil CeEt-482.365 (TR19) | 73 |

Chapitre trois

| | |
|--|----|
| Figure 1 Limites géographiques du Méganticois et localisation des cols de montagne..... | 78 |
| Figure 2 Carte de la région localisant les sites mentionnés dans ce chapitre..... | 79 |
| Figure 3 Séquence archéologique du Méganticois..... | 80 |
| Figure 4 Photo aérienne montrant le tracé potentiel des rivières Arnold et aux Araignées à proximité du site BiEr-6 il y a plus de 7000 ans AA ainsi qu'une vue vers le nord de la terrasse exondée à l'automne 1996 | 85 |
| Figure 5 Les pointes du type Neville du site BiEr-6 | 86 |
| Figure 6 Les pointes du type Stark du site BiEr-6..... | 87 |
| Figure 7 Pointes du type Neville-Stark du site BiEr-6..... | 88 |
| Figure 8 Pointes à pédoncule en schiste ardoisier rouge du site BiEr-6..... | 91 |
| Figure 9 Préformes de pointes à pédoncule du site BiEr-6..... | 92 |
| Figure 10 Forêts de l'Archéologie moyen du site BiEr-6 | 93 |
| Figure 11 Les autres forêts du site BiEr-6 | 93 |
| Figure 12 Les deux gouges complètes du site BiEr-6 | 94 |
| Figure 13 Les deux possibles gouges incomplètes du site BiEr-6 | 94 |
| Figure 14 Hache considérée complète en roche ignée du site BiEr-6 | 95 |
| Figure 15 Hache complète en schiste ardoisier rouge du site BiEr-6 | 95 |
| Figure 16 Trois fragments de hache du site BiEr-6 | 95 |
| Figure 17 Trois poids de filet du site BiEr-6 dont un en schiste ardoisier rouge | 95 |
| Figure 18 Pierre à cupule sur galet incomplet du site BiEr-6 | 95 |

| | |
|---|-----|
| Figure 19 Polissoir en grès présentant une surface plane fortement polie du site BiEr-6 | 96 |
| Figure 20 Bifaces complets du site BiEr-6 | 96 |
| Figure 21 Bifaces complets du site BiEr-6..... | 96 |
| Figure 22 Sept bifaces considérés complets du site BiEr-6..... | 96 |
| Figure 23 Bifaces taillés dans la rhyolite du Mont Kinéo du site BiEr-6..... | 97 |
| Figure 24 Trois bifaces taillés dans une rhyolite pouvant être celle de la Montagne de Marbre du site BiEr-6..... | 97 |
| Figure 25 Fragment de biface taillé dans une rhyolite du New Hampshire du site BiEr-6..... | 97 |
| Figure 26 Bifaces taillés dans du schiste ardoisier rouge du site BiEr-6..... | 97 |
| Figure 27 Les grattoirs du site BiEr-6..... | 98 |
| Figure 28 Les racloirs du site BiEr-6 | 98 |
| Figure 29 Deux pièces esquillées en quartz du site BiEr-6..... | 98 |
| Figure 30 Deux gros éclats utilisés/retouchés du site BiEr-6 | 98 |
| Figure 31 Quatre éclats utilisés / retouchés du site BiEr-6 | 98 |
| Figure 32 Les trois pointes polies de l'Archaique supérieur du site BiEr-6 | 99 |
| Figure 33 Les cinq pointes taillées de l'Archaique supérieur du site BiEr-6 | 99 |
| Figure 34 Cinq autres forets | 101 |
| Figure 35 Trois pointes à pédoncule en rhyolite du mont Kineo du site BiEr-8 | 101 |
| Figure 36 Racloir au front convexe en rhyolite grise du site BiEr-8..... | 101 |
| Figure 37 Racloir double en jaspe brun et biface en rhyolite à retouches semi-abruptes alternes du site BiEr-8..... | 102 |
| Figure 38 Quatre pointes à pédoncule du site BiEr-15 | 102 |
| Figure 39 Hache et fragment proximal de possible gouge du site BiEr-15 | 103 |
| Figure 40 Poids de filet sur galet du site BiEr-15 | 103 |
| Figure 41 Deux bifaces en rhyolite du mont Kineo du site BiEr-15 | 103 |
| Figure 42 Pointe Neville et racloir en rhyolite du mont Kineo du site BiEq-5 | 103 |
| Figure 43 Quatre outils en quartz du site BiEq-5 | 103 |
| Figure 44 Divers outils taillés du site BiEq-6 | 104 |
| Figure 45 Gouge à canal complet en roche ignée du site BiEq-6..... | 104 |
| Figure 46 Gros racloir convexe en chert rouge Munsungun du site BiEq-6..... | 104 |
| Figure 47 Deux couteaux du site BiEq-6 | 104 |
| Figure 48 Quatre grattoirs en quartz du site BiEq-6..... | 104 |
| Figure 49 Divers outils taillés du site BiEq-1 | 105 |
| Figure 50 Huit outils en quartz du site BiEq-1..... | 106 |

Chapitre quatre

| | |
|--|-----|
| Figure 1 Carte de localisation de l'aire d'étude | 116 |
| Figure 2 Zone marécageuse à proximité de l'emplacement du site..... | 117 |
| Figure 3 Site BiFw-172, fouilles en cours, regard vers l'est et l'ancienne rue Saint-Antoine | 118 |
| Figure 4 Plan général du site BiFw-172..... | 119 |
| Figure 5 Site BiFw-172, profil stratigraphique type. La surface visible sur la photo est la surface après enlèvement du remblai, environ 25 cm | 120 |

| | |
|---|-----|
| Figure 6 Plan détaillé du site BiFw-172..... | 123 |
| Figure 7 Vue en plan du foyer 8 | 123 |
| Figure 8 Vue en plan du foyer 9 | 123 |
| Figure 9 Vue en coupe de la fosse 4 | 124 |
| Figure 10 Vue en coupe des fosses 8 et 12 | 124 |
| Figure 11 Distribution des classes de dimension pour le groupe de matières de provenance locale ou régionale..... | 127 |
| Figure 12 Distribution des classes de dimension pour le groupe de matières de provenance exogènes..... | 127 |
| Figure 13 BiFw-172, utilisation du chert Kichisipi | 128 |
| Figure 14 Pointes de projectiles du site BiFw-172..... | 130 |
| Figure 15 Percoirs et forêts du site BiFw-172 | 132 |
| Figure 16 Pointes et lames polies du site BiFw-172..... | 133 |
| Figure 17 Ulus du site BiFw-172 | 134 |
| Figure 18 Polissoirs losangiques du site BiFw-172..... | 134 |
| Figure 19 Polissoirs du site BiFw-172..... | 134 |
| Figure 20 Ébauche de hache du site BiFw-172 | 135 |
| Figure 21 Gouge du site BiFw-172 | 135 |
| Figure 22 Outils en cuivre natif du site BiFw-172 | 136 |
| Figure 23 Fragment de graphite utilisé | 136 |
| Figure 24 Cristal de quartz | 136 |
| Figure 25 Distribution des artefacts lithiques..... | 141 |
| Figure 26 Distribution des restes osseux..... | 141 |
| Figure 27 Organisation spatiale du site BiFw-172..... | 142 |

Chapitre cinq

| | |
|---|-----|
| Figure 1 Répartition des sites du Bas-Saguenay présumément antérieurs à 3000 AA | 154 |
| Figure 2 Site DbEl-4, distribution des écofacts selon la provenance | 156 |
| Figure 3 Site DbEl-4, distribution des vestiges lithiques selon la provenance | 156 |
| Figure 4 Site DbEl-10, station B, distribution des vestiges lithiques | 157 |
| Figure 5 Site DbEl-10, station B, distribution des vestiges osseux | 157 |
| Figure 6 Gouge (DcEp-1) et pointe de jet (DcEp-4)..... | 159 |
| Figure 7 Station A, site DbEl-10. Aire de fouille et distribution des vestiges | 160 |
| Figure 8 Site DbEl-10, station A, outils et nucléus, années 2000 à 2009 | 161 |
| Figure 9 Site DbEl-10, station A, grattoirs en quartz | 161 |
| Figure 10 Site DbEl-10, station A, ébauche en rhyolite rubanée..... | 161 |
| Figure 11 Ulu découvert hors-contexte à l'Anse-Saint-Jean..... | 162 |
| Figure 12 Distribution spatiale des sites du Haut-Saguenay | 163 |
| Figure 13 DgEs-1, haches provenant d'un possible atelier de fabrication..... | 164 |
| Figure 14 DcEs-1, couteau en chert noir | 164 |
| Figure 15 DdEz-2, quelques objets recueillis sur une terrasse de la mer de Laflamme | 164 |
| Figure 16 Sites du segment 3000 à 6000 AA, section est du lac Saint-Jean et Haut-Saguenay | 165 |

| | |
|--|-----|
| Figure 17 Sites de l'Archaique supérieur, rivières Métabetchouane et Ouiatchouan | 166 |
| Figure 18 Site DbEx-1, gouge à cannelure complète | 166 |
| Figure 19 Quelques pointes à péduncule contractant des sites de la rivière Sainte-Marguerite | 169 |
| Figure 20 Quelques pointes de jet polies découvertes sur les sites DbEl-4 et station B de DbEl-10 | 169 |
| Figure 21 Station B de DbEl-10 et DbEl-4, pointes à encoches ou à base atypique | 169 |
| Figure 22 Quelques-uns des plus découverts sur les sites de la rivière Sainte-Marguerite | 170 |
| Figure 23 Quelques-unes des haches découvertes sur les sites de la rivière Sainte-Marguerite | 170 |
| Figure 24 Poids de filet et hachette en cuivre natif découverts sur le site DbEl-4, rivière Sainte-Marguerite | 170 |
| Figure 25 Harpon et pointe à péduncule contractant en os découverts sur les sites de la rivière Sainte-Marguerite | 170 |
| Figure 26 Quelques cristaux de quartz bruts découverts sur la station B de DbEl-10 | 170 |
| Figure 27 Station B de DbEl-10, éclat poli provenant d'une baïonnette décorée | 170 |
| Figure 28 Quelques polisoirs de la rivière Sainte-Marguerite | 176 |
| Figure 29 DdEw-8, baïonnette découverte dans un possible contexte cultuel | 177 |
| Figure 30 Outils en cuivre natif | 178 |
| Figure 31 Proposition d'une division identitaire au cours de la période de l'Archaique supérieur sur le bassin hydrographique de la rivière Saguenay | 182 |

Chapitre six

| | |
|---|-----|
| Figure 1 Carte topographique du secteur de la Baie Sainte-Marguerite, Haute-Côte-Nord, Québec, avec la localisation du site DbEl-10B | 189 |
| Figure 2 Distribution spatiale des ossements, selon leur densité | 192 |
| Figure 3 Lame mince de mudstone shaleux (artefact #03.22604) | 194 |
| Figure 4 Supports sur éclats (a-c) et sur plaquettes (d-e) en mudstone shaleux (# d'artéfacts : a) 11.108084, b) 02.62699 et 02.60003, c) 09.68717, d) 03.56938, et e) 10.87273) | 196 |
| Figure 5 Ébauches (a-c) et outil recyclé (f) en mudstone shaleux (# d'artéfacts : a) 05.30568, b) 03.22102, c) 06.47867, d) 05.26018, e) 11.17206 f) 03.129603) | 196 |
| Figure 6 Différentes étapes de préformes en mudstone shaleux (a, b et d=préformes, c=éclat de mise en forme de la partie proximale, e=f=pointes ou préformes avancées) (# d'artéfacts : a) 06.23426, b) 11.108061, c) 03.110259, d) 05.102713 et 05.100533 e) 02.11469 f) 02.11467 g) 02.11468) | 196 |
| Figure 7 Localisation des facettes et orientation des stries de polissage sur les pointes en mudstone shaleux (# d'artéfacts : e) 02.11469 f) 02.11467 g) 02.11468) | 197 |
| Figure 8 Schéma opératoire du mudstone shaleux | 198 |
| Figure 9 Lame mince d'ardoise non altérée (artefact #06.91080) | 199 |
| Figure 10 Lame mince d'ardoise altérée (artefact #06.2627) | 199 |
| Figure 11 Dessin d'un éclat d'ardoise à talon multilinéaire (artefact #09.45051) | 200 |
| Figure 12 Ébauches en ardoise (a-d=possible ébauches de haches, e-g=possibles préformes de pointes) (# d'artéfacts : a) 05.31889, b) 06.47708, c) 06.24755, d) 09.129169, e) 06.91257, f) 00.1272, g) 11.108063) | 201 |
| Figure 13 Préformes de pointes en ardoise (# d'artéfacts : a) 10.53602, b) 09.2661, c) 09.46799) | 201 |
| Figure 14 Bifaces (a-c), préformes (d-e) et pointe (f) en ardoise altérée (# d'artéfacts : a) 03.857 et 03.859, b) 03.860 et 03.861, c) 03.850 et 03.856, d) 03.855 et 03.858, e) 03.01, 03.862 et 03.865, f) 03.848, 03.849 et 03.104844) | 202 |
| Figure 15 Hache en ardoise (artefact #02.11472) | 203 |
| Figure 16 Schéma opératoire de l'ardoise | 203 |

Chapitre sept

| | |
|--|-----|
| Figure 1 Position géographique de la rivière Romaine et du site archéologique EkCw-4..... | 211 |
| Figure 2 Modèle 3D issu de la restitution photogrammétrique du relief et de l'environnement du site EkCw-4 | 215 |
| Figure 3 Coupe du relief de la structure géomorphologique du site EkCw-4 et de la colline formant la rive opposée | 215 |
| Figure 4 Illustration de l'intensité du bruit enregistrée sur le site archéologique EkCw-4 et ses environs. Les points indiquent les lieux d'enregistrement. Plus l'intensité du son est forte, plus la teinte est foncée | 217 |
| Figure 5 Vue sur l'espace d'accueil du site archéologique EkCw-4 situé sur la rive droite de la rivière Romaine près de la portion amont des rapides du PK 263. Regard porté vers le sud-sud-ouest | 217 |
| Figure 6 Plan général du site archéologique EkCw-4. L'aire F se trouve à une quarantaine de mètres au sud (voir encadré)..... | 218 |
| Figure 7 Exemple d'une succession de paléosols sur EkCw-4 – Paroi nord du puits 517N-510E..... | 219 |
| Figure 8 Graphique illustrant l'étendue des datations radiocarbone des foyers (F) et autres éléments associés aux niveaux 4 (6635 – 5035 ans cal AA) et 3 (3975 – 3390 ans cal AA) | 221 |
| Figure 9 Graphique illustrant l'étendue des datations radiocarbone des aires de combustion associées au niveau 4 selon la phase à laquelle elles appartiennent (4a à 4h) | 223 |
| Figure 10 Site EkCw-4 – Aires de combustion à plat simple du niveau 4 | 223 |
| Figure 11 Aires de combustion aménagées dans de légères dépressions | 224 |
| Figure 12 Exemple de pierres associées à une aire de combustion du niveau 4. Des éclats ont été détachés de la pierre de la figure a | 224 |
| Figure 13 a. biface T-3123; b. couteau T-3524; c. pièce bifaciale T-6054; d. racloir T-5631; e. polissoir T-2461; f. polissoir T-5326 et g. applicateur dans un récipient à colorant T-3246..... | 225 |
| Figure 14 Graphique illustrant l'étendue des datations radiocarbone des aires de combustion associées au niveau 3 selon la phase à laquelle elles appartiennent (3a à 3d)..... | 229 |
| Figure 15 Site EkCw-4 - Exemple de structures de combustion du niveau 3 | 230 |
| Figure 16 Site EkCw-4 – Exemple d'éléments façonnés dans une matière première s'apparentant au chert de Minganie (T-3282 et T-3558) (7a); grattoir-racloir T-2533 en chert gris verdâtre et (7b) grattoir T-2161a en chert noir lustré (7c) | 231 |

Chapitre huit

| | |
|---|-----|
| Figure 1 Carte de localisation de l'aire d'étude | 237 |
| Figure 2 Limites de l'ancien lac Opticiwan (réservoir Gouin) et localisation des endroits où les artefacts ont été trouvés par Siméon Chachai..... | 238 |
| Figure 3 Les ulus de la collection Siméon Chachai..... | 239 |
| Figure 4 Les gouges de la collection Siméon Chachai..... | 240 |
| Figure 5 Les bifaces de la collection Siméon Chachai..... | 242 |
| Figure 6 Axes de circulation basées sur les récits de certains explorateurs de la période historique et sur les données archéologiques disponibles (voir Archéotec 2010, p. 136)..... | 244 |

Chapitre neuf

| | |
|---|-----|
| Figure 1 Localisation générale du site EhGo-1..... | 248 |
| Figure 2 Plan général du site montrant les aires A, B, et C, ainsi que les aires de récolte de surface | 249 |
| Figure 3 Vue du site vers le sud-ouest montrant l'aire de fouille et l'environnement actuel | 250 |
| Figure 4 Vue de l'environnement caroté et exemple d'une carotte prise autour de Waskaganish avec la transition d'un environnement de marais maritime dans la partie inférieure à un environnement palustre dans la partie supérieure (forêt tourbeuse)..... | 251 |
| Figure 5 Stratigraphie typique de l'aire A, contenant une partie de la structure B (18-19S 12E) | 252 |

| | |
|--|-----|
| Figure 6 Plan de distribution des structures de l'aire A | 254 |
| Figure 7 Plan de distribution des os, des pointes et des couteaux (les dégradés de gris ne représentent que les fragments d'os) | 255 |
| Figure 8 Photo montrant des échantillons d'os recueillis dans les structures | 255 |
| Figure 9 Plan rapproché de l'aire A montrant la distribution du matériel archéologique sur le secteur fouillé | 256 |
| Figure 10 Fréquence de la présence des artefacts, des matières premières et des écofacts selon leur position stratigraphique | 257 |
| Figure 11 Exemples de couteaux polis du site EhGo-1 | 258 |
| Figure 12 Exemples de fragments de couteaux polis du site EhGo-1 | 259 |
| Figure 13 Comparaison entre les artefacts du site EhGo-1 (à droite) et ceux associés au complexe Rattlers Bight | 259 |
| Figure 14 Exemples de lames et d'ébauches de couteau | 260 |
| Figure 15 Exemples d'ébauches de haches | 260 |
| Figure 16 Exemples de pointes et fragments de pointes de projectile | 261 |
| Figure 17 Artefacts en quartzite de Ramah – A) petit grattoir, B) partie médiale de pointe de projectile, C) pédoncule de pointe, D et E) éclats retouchés, F) micropointe et G) éclat utilisé | 261 |
| Figure 18 Deux exemples de grattoir et un ulu en trois fragments | 262 |
| Figure 19 Les haches (rangée du haut) et les tranchants de hache (rangée du bas) | 262 |
| Figure 20 Exemples de polissoirs et de brunnissoirs | 263 |
| Figure 21 Les percuteurs (rangée du haut) et une paumelle et un briquet (rangée du bas) | 263 |
| Figure 22 Exemples de meules | 263 |
| Figure 23 Graphique des datations au ^{14}C calibrées (Intcal 13, Calib 7.1) | 265 |
| Figure 24 Évolution du niveau marin relatif (émersion) dans le sud de la Baie-James, selon Penda | 266 |
| Figure 25 Localisation estimée du site EhGo-1 il y a environ 4200 ans AA | 267 |

Chapitre dix

| | |
|---|-----|
| Figure 1 Localisation des sites mentionnés dans ce chapitre | 271 |
| Figure 2 Le site Cliche-Rancourt (BiEr-14) et son découpage interne | 272 |
| Figure 3 Vue vers le nord de l'aire IV Nord du site Cliche-Rancourt | 273 |
| Figure 4 Cinq pièces esquillées et un nucleus (CR-2427) en quartz de l'aire IV Nord du site Cliche-Rancourt | 274 |
| Figure 5 Vue vers le sud de l'aire IV Sud du site Cliche-Rancourt | 276 |
| Figure 6 Deux pointes à pédoncule et deux bifaces en rhyolite grise de l'aire IV Sud du site Cliche-Rancourt | 276 |
| Figure 7 Les outils de l'aire IV Sud du site Cliche-Rancourt : trois éclats utilisés (CR-2275, CR-2290 et CR-2251), une pointe à éncoches latérales évasees (CR-2454) et un nucleus CR-2453+2266) taillés en schiste-mudstone rouge, et l'éclat utilisé CR2291 en chert rouge Mansungun | 277 |
| Figure 8 Les éclats en rhyolite grise de l'aire IV Sud du site Cliche-Rancourt dont trois avec un front naturel (CR-2175, CR-2189 et CR-2267) et deux avec une extrémité pointue pour percer (CR-2492 et CR-2160) | 278 |
| Figure 9 Distribution des outils dans l'aire IV (Nord et Sud) | 281 |
| Figure 10 Distribution des vestiges matériels en quartz dans l'aire IV (Nord et Sud) | 282 |
| Figure 11 Distribution des vestiges matériels en rhyolite grise dans l'aire IV Sud | 283 |
| Figure 12 Distribution des vestiges matériels en schiste rouge dans l'aire IV Sud | 283 |
| Figure 13 Divers outils du site Abonesig : rangée du haut : trois pièces esquillées, un perçoir en quartz et un éclat utilisé en schiste rouge; trois autres rangées : des grattoirs en quartz | 285 |
| Figure 14 La distribution des outils, la densité du débitage et les concentrations lithiques sur le site Abonesig (BiEr-22) | 286 |

Chapitre onze

| | |
|---|-----|
| Figure 1 Localisation de l'aire d'étude | 294 |
| Figure 2 Localisation des zones à potentiel archéologique, des sites connus, ainsi que des tracés des anciens chemins et cours du ruisseau du Marais (photographie aérienne de 1935)..... | 295 |
| Figure 3 Modèles d'élévation montrant la ligne de rivage à différentes altitudes, soit 12,30 m, 13 m et 13,5 m, en relation avec la répartition des sondages archéologiques..... | 297 |
| Figure 4 Localisation des aménagements projetés, des sondages archéologiques et les aires d'intervention..... | 299 |
| Figure 5 Vue aérienne de l'aire d'intervention a en cours de fouille, vue vers l'ouest. La laiterie Chalifoux est visible en haut à gauche..... | 301 |
| Figure 6 Plan général du site CaFg-6..... | 302 |
| Figure 7 Profils stratigraphiques types : paroi est du sondage A18 (Labour, Bf et C) et paroi ouest du sondage A9 (Labour, Ah, Ac, Bhf et Bf) | 303 |
| Figure 8 Plan détaillé de l'aire d'intervention a | 305 |
| Figure 9 Aménagements A21, unité 128N-164E..... | 306 |
| Figure 10 Aménagement A27, unité 130N-148E..... | 306 |
| Figure 11 Aménagement A36, plan, unités 168N-190E, 168N-192E, 170N-190E et 170N-192E | 307 |
| Figure 12 Répartition spatiale selon la densité des éléments lithiques répertoriés, aire d'intervention a | 310 |
| Figure 13 Pointes de projectile (Vosburg, Brewerton, Lamoka, Normanskill et Levanna) (a, b) et couteaux, dont certains sont aménagés sur des pointes (c), aire d'intervention a | 312 |
| Figure 14 Outils ayant servi à graver (a), à fendre (b) et à percer (c), aire d'intervention a | 313 |
| Figure 15 Outils ayant servi à gratter (a), dont trois grattoirs triangulaires bifaciaux, et à racler (b), aire d'intervention a | 313 |
| Figure 16 Objet piriforme (a) et plaquette de grès (b), aire d'intervention a | 313 |
| Figure 17 Gouge, hache et fragments d'outils polis indéterminés (a) et fragment d'outil bouchardé, deux haches et un poinçon (baïonnette) (b), aire d'intervention a | 314 |
| Figure 18 Tige de pierre (<i>stone rod</i>) (a) et ébauches de haches (b), aire d'intervention a | 314 |
| Figure 19 Plan détaillé de l'aire d'intervention d..... | 316 |
| Figure 20 Aménagement B19, unité 114N-366E, aire d'intervention d..... | 317 |
| Figure 21 Répartition spatiale selon la densité des éléments lithiques répertoriés, aire d'intervention d | 320 |
| Figure 22 Pointes de projectile (Normanskill, Lamoka, Genesee) (a) et couteaux, dont certains sont aménagés sur des pointes (b), aire d'intervention d | 321 |
| Figure 23 Outils ayant servi à gratter, dont deux grattoirs triangulaires bifaciaux et un grattoir sur galet poli, aire d'intervention d.... | 322 |
| Figure 24 Herminettes, aire d'intervention d | 322 |
| Figure 25 Outils de l'aire d'intervention b : pointes de projectiles Normanskill (a) et Brewerton (b), grattoirs (c), hache et aiguiseoir (d) | 323 |
| Figure 26 Outils de l'aire d'intervention c : outil poli, couteaux et un outil d'appoint..... | 323 |

Liste des tableaux

Introduction

Tableau 1 Périodisation de l'Archéologie du Québec méridional et des régions avoisinantes décrites dans ce livre 5

Chapitre premier

| | |
|--|----|
| Tableau 1 Résultat des interventions menées par l'équipe du CAM sur les sites EbCx-65 et -66 | 16 |
| Tableau 2 EbCx-65 station 10, distribution des types d'objets par matières premières | 21 |
| Tableau 3 EbCx-65 station 10, distribution des types d'outils par matières premières | 21 |
| Tableau 4 EbCx-65 station 10, caractéristiques morphologiques des grattoirs | 21 |
| Tableau 5 EbCx-65 station 10, répartition des types d'éclats par matières premières | 25 |
| Tableau 6 Datations au radiocarbone des sites EbCx-65 et EbCx-66 | 26 |
| Tableau 7 EbCx-65 station 10, résultats de l'analyse zoarchéologique | 28 |
| Tableau 8 EbCx-66 station 4, distribution des types d'objets par matières premières | 31 |
| Tableau 9 EbCx-66 station 4, distribution des types d'outils par matières premières | 31 |
| Tableau 10 EbCx-66 station 4, caractéristiques morphologiques des grattoirs | 31 |
| Tableau 11 EbCx-66 station 4, répartition des types d'éclats par matières premières | 33 |
| Tableau 12 EbCx-66 station 4, résultats de l'analyse zoarchéologique | 35 |
| Tableau 13 Représentation des matières premières sur les sites EbCx-65 et -66 | 36 |
| Tableau 14 Répartition des types d'outils sur les sites EbCx-65 et -66 | 36 |
| Tableau 15 Datations anciennes de quelques sites de la péninsule du Québec-Labrador | 51 |

Chapitre deux

| | |
|---|----|
| Tableau 1 Les datations radiométriques obtenues en association aux structures de l'aire 2 de la station principale du site CeEt-482 | 60 |
| Tableau 2 Les types de nucléus identifiés | 66 |
| Tableau 3 Les éclats et les débris selon le type de quartz (complet : incomplet) | 67 |
| Tableau 4 Les outils en quartz | 67 |
| Tableau 5 Identification du type de matière travaillée par les outils en quartz basée sur l'analyse tracéologique (10/17) | 70 |
| Tableau 6 Tableau synthèse des résultats de l'analyse tracéologique pour les objets dont l'« action » pratiquée fut déterminée (n=15) | 70 |
| Tableau 7 Résultats détaillés de l'analyse tracéologique comparé aux identifications technologiques | 71 |

Chapitre trois

| | |
|--|----|
| Tableau 1 Les effectifs lithiques du site BiEr-6 ou Plage-Duquette | 83 |
| Tableau 2 Les données métriques en mm des pointes de l'Archéologie moyen sur BiEr-6 | 89 |
| Tableau 3 Comparaison entre les pointes des sites Neville et Plage-Duquette | 90 |
| Tableau 4 Les données métriques des pointes en schiste ardoisier rouge de BiEr-6 | 91 |
| Tableau 5 Les données métriques des préformes de BiEr-6 | 92 |
| Tableau 6 Les données métriques en mm des forets de l'Archéologie moyen sur BiEr-6 | 93 |
| Tableau 7 Les données métriques des bifaces complets et considérés complets sur BiEr-6 | 97 |

Chapitre quatre

| | |
|---|-----|
| Tableau 1 Répartition des éléments de débitage par niveau arbitraire | 120 |
| Tableau 2 Répartition verticale des éléments de débitage par niveau arbitraire..... | 121 |
| Tableau 3 Caractéristiques des structures observées sur le site BiFw-172..... | 122 |
| Tableau 4 BiFw-172, datations radiométriques..... | 125 |
| Tableau 5 Répartition par matière première des éléments de débitage du site BiFw-172..... | 126 |
| Tableau 6 Outils taillés du site BiFw-172, représentation des matières premières | 129 |
| Tableau 7 Types d'outils figurant dans l'assemblage d'outils taillés du site BiFw-172 | 129 |
| Tableau 8 Fonctions représentées dans l'assemblage d'outils taillés du site BiFw-172 | 130 |
| Tableau 9 Matières premières des pointes de projectiles | 131 |
| Tableau 10 Types de pointes identifiées sur le site BiFw-172 | 131 |
| Tableau 11 Pièces bifaciales récupérées sur BiFw-172 | 131 |
| Tableau 12 Types d'outils polis du site BiFw-172 | 133 |
| Tableau 13 Types de polissoirs identifiés sur le site BiFw-172 | 134 |
| Tableau 14 Outils en cuivre natif du site BiFw-172 | 136 |
| Tableau 15 Composition de l'assemblage de restes osseux du site BiFw-172..... | 137 |
| Tableau 16 Composition de l'assemblage de restes osseux du site BiFw-172 selon la classe animale..... | 137 |
| Tableau 17 Composition de l'assemblage de restes osseux du site BiFw-172 par espèce..... | 138 |
| Tableau 18 Comparaison des assemblages de restes osseux de sites dans la région | 139 |
| Tableau 19 Séquence chronologique de la période Archaïque | 143 |

Chapitre cinq

| | |
|---|-----|
| Tableau 1 Site DbEl-4, ventilation des vestiges découverts, toutes sous-aires confondues, années 1996-2011 | 155 |
| Tableau 2 Site DbEl-4 et station B de DbEl-10, ventilation des outils et des objets représentant des étapes technologiques..... | 158 |
| Tableau 3 Site DbEl-10, station B, ventilation des vestiges découverts, années 2000 à 2011 | 158 |
| Tableau 4 DcEp-4, ventilation des vestiges archéologiques, années 1997 à 2005 | 159 |
| Tableau 5 Site DbEl-10, station A, ventilation des vestiges recueillis, années 2000 à 2009 | 161 |
| Tableau 6 Sites du Lac-Saint-Jean de l'Archaïque supérieur | 167 |

Chapitre six

| | |
|--|-----|
| Tableau 1 Répartition des matières premières associées à la chaîne opératoire de l'outillage poli..... | 190 |
|--|-----|

Chapitre huit

| | |
|---|-----|
| Tableau 1 Principaux attributs des ulus..... | 239 |
| Tableau 2 Principaux attributs des gouges..... | 240 |
| Tableau 3 Principaux attributs des bifaces..... | 241 |

Chapitre neuf

| | |
|---|-----|
| Tableau 1 Distribution des matières premières par niveau..... | 257 |
|---|-----|

| | |
|---|-----|
| Tableau 2 Distribution du matériel lithique par niveau | 257 |
| Tableau 3 Artéfacts en pierre taillée et bouchardée/polie..... | 263 |
| Tableau 4 Les sites datés les plus anciens avant 2000 AA dans la région | 264 |
| Tableau 5 Les dates au ¹⁴ C obtenues pour le site EhGo-1 | 264 |
| Tableau 6 Dimension des éclats par couche stratigraphique | 266 |
| Tableau 7 Distribution verticale des gros outils (ébauches, couteaux, fragments polis, haches, meules, nucléus, polisoirs, pilons et percuteurs)..... | 266 |

Chapitre dix

| | |
|---|-----|
| Tableau 1 Les outils de l'aire IV Nord du site Cliche-Rancourt..... | 274 |
| Tableau 2 Débitage des aires IV Nord et IV Sud par matière première et par type d'éclat | 275 |
| Tableau 3 Débitage des aires IV Nord et IV Sud selon la forme du talon | 275 |
| Tableau 4 Débitage des aires IV Nord et IV Sud selon les dimensions..... | 275 |
| Tableau 5 Les outils de l'aire IV Sud du site Cliche-Rancourt | 277 |
| Tableau 6 Comparaison du débitage en quartz entre le site Abonesig et les aires IV Nord et IV Sud selon les dimensions..... | 286 |

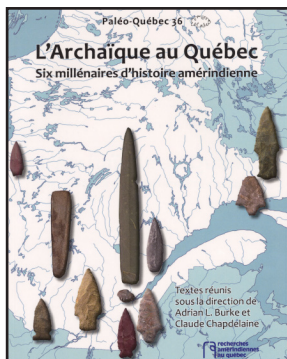
Chapitre onze

| | |
|--|-----|
| Tableau 1 Répartition des différents vestiges selon le type d'assemblage et l'aire d'intervention | 304 |
| Tableau 2 Répartition de l'assemblage lithique selon les matières premières et la catégorie d'objets, aire d'intervention a..... | 308 |
| Tableau 3 Répartition des éclats avec talon selon la dimension, aire d'intervention a | 309 |
| Tableau 4 Répartition des outils et des objets non façonnés selon la fonction et le mode de façonnement, aire d'intervention a | 311 |
| Tableau 5 Répartition de l'assemblage lithique selon les matières premières et la catégorie d'objets, aire d'intervention d | 318 |
| Tableau 6 Répartition des éclats avec talon selon la dimension, aire d'intervention d..... | 319 |
| Tableau 7 Répartition des outils et des objets non façonnés selon la fonction et le mode de façonnement, aire d'intervention d..... | 321 |

Le chapitre 11 (Clichegn 2018c) présente les résultats de l'étude de l'aire IV Sud du site Cliche-Rancourt. Il s'agit d'un travail de synthèse qui a été réalisé à partir des données collectées lors de l'excavation des collections des Béz Marron et une émission (Clermont et Clermont, 1978; Clermont et al. 2003), ainsi que la publication sur les Larvaires coralliens (Thiriet et al. 1998). L'aire IV Sud a été achetée par Blaine Sallen (Fland 1998) pour ensuite être vendue à l'archéologue L'Archambault. Ce travail a porté sur les établissements sur la préhistoire de cette période. La recherche s'inscrit en liaison avec les travaux contemporains, et les chercheurs en préhistoire du passé ont pu se renseigner sur l'implantation des villages et villages-élevages dans la passe, par exemple l'polyvalence sociale et politique (Clichegn 2009, 2010) ou les rites et la symbolique (Clichegn 2015).

Chronique : des millénaires de changements et d'innovations dans le Nord-Est

Le chapitre 12 poursuit les recherches archéologiques sur l'Archipel Stadaconé en mettant l'accent sur l'aire IV Sud. À l'ouest du Nord-Est, il débute vers 11 000 ans avant aujourd'hui et va jusqu'à 1 000 ans avant aujourd'hui. Ces épisodes couvrent donc huit millénaires, une durée propice pour une analyse longue et approfondie à decouper en plusieurs et à reconstruire diverses périodes.



L'Archaïque au Québec: Six Millénaires d'histoire Amérindienne

Adrian L. Burke and Claude Chapdelaine, Eds. 2017. Collection Paléo-Québec 36. [Recherches amérindiennes au Québec Montréal](#). xvii+335 pp., 261 figures, 79 tables, DVD with text, color figures, and appendices. All articles in French. \$25 (paper)

Reviewed by Clare Tolmie, Senior Research Archaeologist, Illinois State Archaeological Survey

This edited volume reflects new approaches to the study of the Archaic in southern Quebec, an area that extends from the St. Lawrence and the borders of New England to Hudson's Bay and the subarctic. It is thirty years since the last major publication on the Archaic of this region, and thus the papers here reflect the impact of CRM on the archaeological database, as well as new approaches to understanding the development of new cultural expressions, social and economic networks in the region.

This volume presents a review of recent work in the interpretation of Archaic material culture in what is now southern Quebec from 11,0000–3,000 BP, in the context of an environment and landscape that was impacted by glacial retreat, marine transgressions, and isostatic uplift. Within this framework, the chapters investigate social and political structure, relationships within and between maritime and inland groups, and the factors that either enhanced or obstructed interactions between different areas. This volume also emphasizes innovations that occurred in the Archaic—in ceremonial behavior, subsistence intensification, site organization, the development of a semi-sedentary residential pattern within restricted territories, and, of course, new technologies that may include the bow and arrow.

The editors have left the authors to use their preferred taxonomies and chronologies, to avoid the impression that the Archaic in Quebec was homogenous, and to allow ease of discussion and/or comparison with data from other sites in the greater Northwest. A useful table is provided for the reader to show the correlation between time periods/cultures of the region from southern Quebec, subarctic (James Bay), the Lower and Middle North Coast, and Northern New England/Maritime Provinces. Though not included, a brief overview of the sequence of glacial retreat, marine transgressions, and sea level and lake level variation over the period, would help provide additional context for readers with less familiarity with such changes, which clearly impacted the occupants of many of the sites discussed in the text.

Of particular interest to this reader was the analysis in many of the papers of data used to reconstruct the contemporaneous Archaic landscape and situate both the sites and their occupants within that landscape. This included not only examining sites themselves, but the interaction of landscape, humans, and their cultural expressions to better elucidate the construction of social networks across a landscape, and the construction of social identities themselves.

Many papers discuss subsistence behaviors and site locations in terms of landscape and regional or local networks: data from the Early Archaic on the North Shore, including the first zooarchaeological analysis for this period, detailed reconstruction of the post-glacial

environment, and the resulting reconstruction of subsistence behavior. Within the Saguenay watershed, hydrological and topological factors are examined in terms of different subsistence practices and artifact assemblages, and the separation of Middle and Archaic populations between the fjords (Maritime) and the hinterland (Laurentian) relating to both topography and fluvial conditions along a major river valley. Another paper presents preliminary results of excavations at the mouth of the River Gatineau, that reconstruct the local environment and season of occupation, and may also show an intensification in the use of wetland resources and local resources in the Late Archaic.

Other papers assess large and small sites as parts of systems of movement and settlement within a landscape, such as a campsite at a rapids reused over time at the Lac des Joncs, or along what were major streams in the late Archaic, but are now minor drainages following changes in landscape and watersheds as a result of isostatic rebound. Other authors examine the landscape as part of a cultural construct including the importance of place in maintaining social relationships across a community and way-marking to maintain the cultural landscape of a society.

A number of papers focus on new approaches to old collections, or apply analytical techniques to new materials. Examples include use wear studies on a Lower Archaic quartz lithic assemblage which demonstrated the potential of use wear analysis for this stone, and the use of typological studies of lithic assemblages and projectile points to identify Middle Archaic sites based on a collection of points from sites in the Lac des Joncs region.

The final paper is the most provocative, reflecting how the categorization of prehistoric cultures masks much of the potential variation in the archaeological record and also arguing strongly for considering the functionality of projectile points and other formal and informal tools, as well as their typology, in interpreting site use and subsistence patterns.

This collection of articles provides new insights into the interactions of humans, human social networks, and their adaptation to a changing landscape and environment. The careful analysis of the sites in their contemporary environmental context is an important aspect of interpreting site function, choice of site location, and the potential for interaction with other Archaic societies at the local and regional level. The broader understanding of the Archaic period(s) and cultures provided by these articles aids our understanding of the evolution of later cultures in the region.

All articles are in French, and color illustrations and additional data are supplied in a CD. I would encourage the editors of the series to enable access to the data via the web for those of us whose computers do not have a CD drive.